

## บทที่ 4

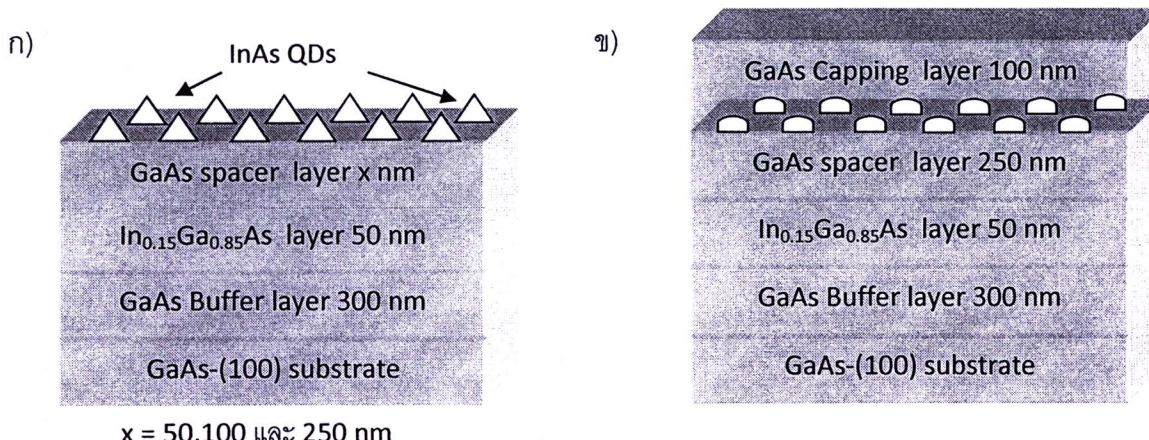
### ผลการทดลองและการวิเคราะห์

ความตื้นดอตที่ปลูกบัน  $In_{0.85}Ga_{0.15}As/GaAs$  จะมีการจัดเรียงในทิศ [110] และทิศ [1-10] ซึ่งสอดคล้องกับแนวของ dislocation ด้านล่าง การเพิ่มชั้น GaAs spacer บนลายตารางส่งผลให้ลายตารางที่ปรากฏบนพื้นผิวเปลี่ยนแปลงไป ส่งผลให้ความตื้นดอตที่ปลูกบันพื้นผิวดังกล่าวมีการจัดเรียงตัวที่เปลี่ยนแปลงไปด้วย

ในบทนี้จะอธิบายผลการทดลองการปลูกความตื้นดอตบนแม่แบบ  $GaAs/In_{0.15}Ga_{0.85}As/GaAs$  เมื่อความหนาของชั้น GaAs spacer เปลี่ยนแปลงไป โดยจะมุ่งเน้นผลการศึกษาสมบัติของพื้นผิวและการเปลี่ยนแปลงของชิ้นงาน

#### 4.1 โครงสร้างของชิ้นงาน

โครงสร้างของชิ้นงานทั้งหมดที่ปลูกชิ้นถูกแสดงในภาพตัดขวางดังรูปที่ 4.1 พร้อมกับแสดงรายละเอียดต่างๆ ในตารางที่ 4.1



$$x = 50, 100 \text{ และ } 250 \text{ nm}$$

รูปที่ 4.1 ภาพตัดขวางของชิ้นงานในการทดลอง ก) โครงสร้างสำหรับศึกษาสมบัติทางกายภาพของ

ผิวน้ำด้วยเทคนิค AFM ข) โครงสร้างสำหรับศึกษาสมบัติทางแสงด้วยเทคนิค PL

การปลูกชิ้นงานเริ่มต้นจากแผ่นฐาน (100) - GaAs หลังจากผ่านกระบวนการเตรียมผิวน้ำชิ้นงานจะถูกปลูกชั้น GaAs บัฟเฟอร์หนา 300 nm ที่อุณหภูมิผิวน้ำ  $580^{\circ}\text{C}$  เพื่อให้ผิวน้ำเรียบจากนั้นจึงลดอุณหภูมิลงมาที่  $500^{\circ}\text{C}$  เพื่อปลูก  $In_{0.15}Ga_{0.85}As$  ความหนา 50 nm ตามด้วยชั้น GaAs spacer หนา 50, 100 หรือ 250 nm สำหรับชิ้นงาน A, B และ C ตามลำดับ เพื่อใช้เป็นแม่แบบในการก่อ

ตัวของความตั้มดอต จากนั้นจึงปัลกชั้น InAs ความตั้มดอต หนา 1.8 ML ในแบบ SK ปกติ และ SK แบบ MEE ซึ่งจะแตกต่างกันในรูปแบบการเปิดปิดชั้ตเตอร์สาร In และ As ขณะปัลกความตั้มดอตดังที่ได้กล่าวถึงในบทที่ 3 โดยหลังจากที่ความตั้มดอตก่อตัวขึ้น ชัตเตอร์ In จะปิดลงแล้วคงอุณหภูมิปัลกให้เป็นเวลา 30 วินาที จากนั้นสำหรับชิ้นงานที่ใช้ศึกษาสมบัติของพื้นผิว ดังโครงสร้างที่ 4.1 ข) อุณหภูมิแผ่นฐานจะถูกปรับลงมาอย่าง 100°C ทันทีเพื่อรักษาอุณหภูมิร่างของความตั้มดอต [76] ส่วนชิ้นงานที่ใช้ในการศึกษาสมบัติทางแสงดังโครงสร้างในรูปที่ 4.1 ข) ความตั้มดอตจะถูกกลับหัวด้วย GaAs หนา 100 nm ก่อนแผ่นฐานจะถูกลดอุณหภูมิลงมาอย่าง 100°C ลักษณะของชิ้นงานต่างๆที่ใช้ในการศึกษาถูกสรุปในตารางที่ 4.1 ชิ้นงานสำหรับศึกษาภายในภาพของผิวน้ำ ได้แก่ ชิ้นงาน A-F ประกอบไปด้วยชิ้นงานที่มีชั้น GaAs Spacer หนา 50, 100, 250 nm (ชิ้นงาน A-C) และชิ้นงานที่ใช้วิธีการปัลกความตั้มดอตแบบ MEE ซึ่งใช้ปริมาณสารในการปัลกไม่เท่ากัน (ชิ้นงาน D และ E) และชิ้นงานสำหรับวัดทางแสงโดยเทคนิค PL ได้แก่ ชิ้นงาน G

ตารางที่ 4.1 ชิ้นงานทั้งหมดที่ได้จากการทดลอง แบ่งออกเป็น 2 ส่วนคือ ชิ้นงานสำหรับศึกษาภายในภาพ

ของผิวน้ำและชิ้นงานสำหรับวัดทางแสงโดยเทคนิค PL

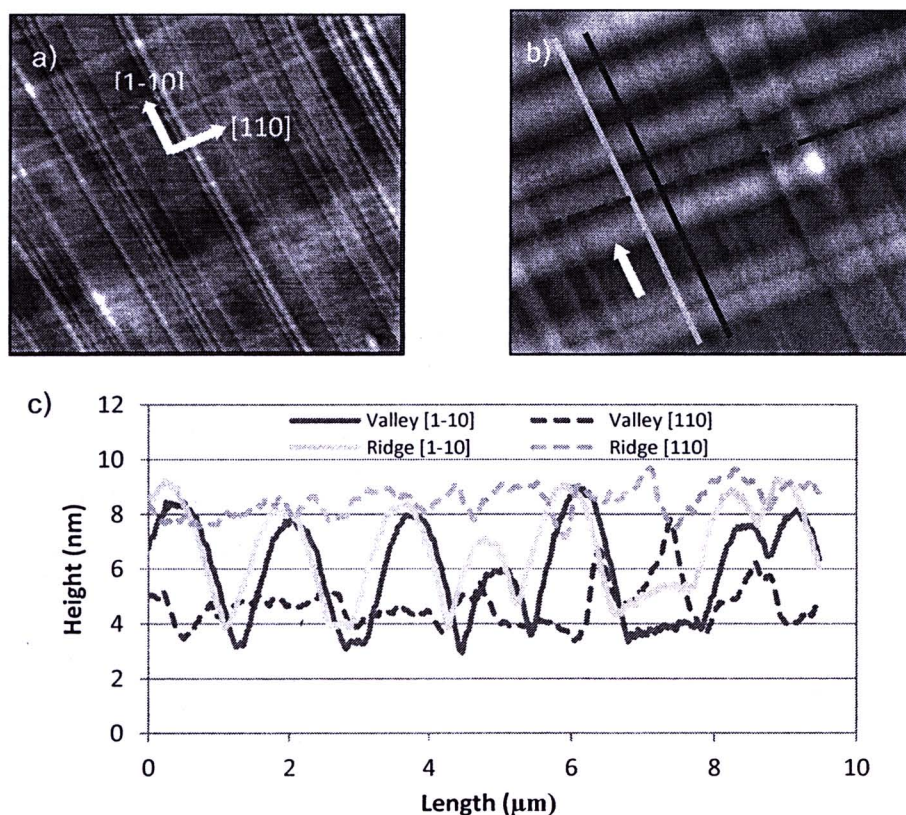
Sample	GaAs Capping Layer Thickness (nm)	InAs QD (ML)	GaAs Spacer Thickness (nm)	$In_{0.15}Ga_{0.85}As$ layer Thickness (nm)	GaAs Buffer Layer thickness (nm)
A	-	1.8 SK	50	50	300
B	-	1.8 SK	100	50	300
C	-	1.8 SK	250	50	300
D	-	-	250	50	300
E	-	1.8 MEE	250	50	300
F	-	1.8 Overgrowth 50% MEE	250	50	300
G	100	1.8 SK	250	50	300

## 4.2 ผิวน้ำของชั้น GaAs spacer และการจัดเรียงความตั้มดอตอนผิวน้ำ

ผลของการเพิ่มชั้น GaAs spacer ที่มีความหนาแตกต่างกันจะถูกศึกษาในหัวข้อนี้ โดยจะศึกษาลักษณะภายในของผิวน้ำเป็นหลัก พร้อมกับแสดงการเรียงตัวของความตั้มดอตอนที่เกิดขึ้น

### 4.2.1 ผิวน้ำของชั้น GaAs spacer

เมื่อเพิ่มชั้น GaAs spacer ลงบนผิวน้ำทำให้ลักษณะของผิวน้ำมีการเปลี่ยนแปลงไปจากผิวน้ำของแผ่นฐานเสมอตามตารางเดิม ดังภาพ AFM ในรูปที่ 4.2 ผิวน้ำของชิ้นงานที่มีชั้น GaAs spacer มีแนวของเนินในทิศทาง [110] ขนาดใหญ่กว่า จาก line scan ในรูปที่ 4.2 ข) ซึ่งเป็นภาพ AFM ที่ได้จากชิ้นงาน D พบว่ามีความกว้างเฉลี่ยเพิ่มขึ้นเป็น 1,336 nm เมื่อเปรียบเทียบกับผิวน้ำของลายตาราง  $In_{0.15}Ga_{0.85}As$  ที่ปราศจากชั้น GaAs spacer ในรูปที่ 4.2 ก) ของ C.C. Thet [33] ซึ่งมีความกว้างเฉลี่ย 455 nm เท่านั้น ในส่วนความลึกของแนวเนินจากยอดถึงพื้น (peak to valley) มีค่าเพิ่มขึ้นจาก 1.19 nm ในรูปที่ 4.2 ก) เป็น 4.48 nm ในรูปที่ 4.2 ข) นอกจากนี้ยังสังเกตเห็นค่าความสูงที่เพิ่มขึ้นจากปกติในบริเวณที่แนวของเนินหักสองทิศทางตัดกันดังแสดงในรูปที่ 4.2 ค) ในส่วนความกว้างแนวเนินและความลึกจากยอดถึงพื้นในทิศทาง [1-10] มีค่าเพิ่มขึ้น เช่นกันแต่เปลี่ยนแปลงไม่มากนักเมื่อเทียบกับในทิศทาง [110] ลักษณะทางกายภาพทั่วไปของผิวน้ำหักสองถูกสรุปและแสดงในตารางที่ 4.2



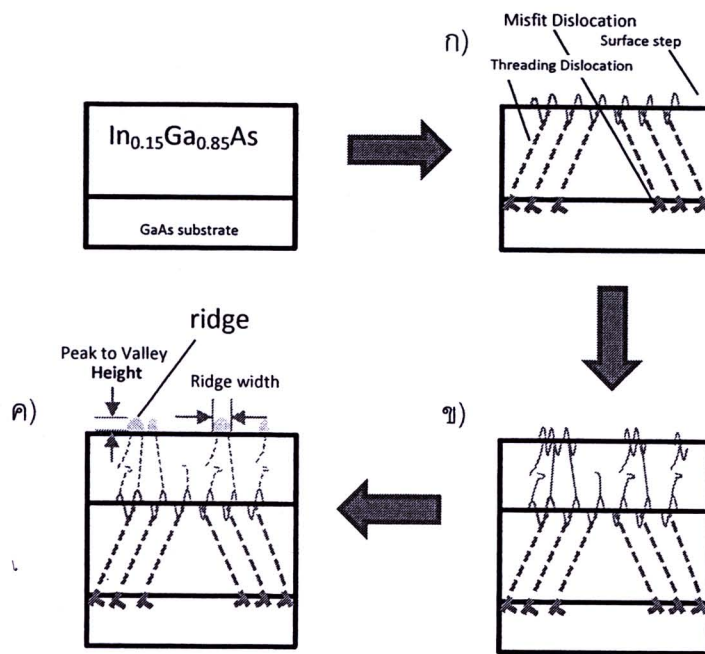
รูปที่ 4.2 ภาพ AFM ขนาด  $10 \times 10 \mu\text{m}^2$  แสดงลักษณะผิวน้ำที่ยังไม่ได้ปลูกความตั้มดอต ก) โครงสร้าง 50 nm  $In_{0.15}Ga_{0.85}As/GaAs$  [33] และ ข) ชิ้นงาน D ซึ่งมีโครงสร้าง 250 nm GaAs Spacer/ 50 nm  $In_{0.15}Ga_{0.85}As/GaAs$  และ ค) line scan ของชิ้นงาน D ตามตำแหน่งในรูป b)

ตารางที่ 4.2 ความกว้างของเนินและความลึกจากยอดถึงพื้นในทิศ [110] และ [1-10] ของโครงสร้าง

$In_{0.15}Ga_{0.85}As/GaAs$  และชิ้นงาน D

Structure	Peak to valley Height (nm)		Ridge Width (nm)	
	[110]	[1-10]	[110]	[1-10]
50nm $In_{0.15}Ga_{0.85}As/GaAs$	1.42	2.67	455	623
Sample D	1.19	4.48	1,336	713

การเปลี่ยนแปลงของผิวน้ำสามารถอธิบายได้ดังรูปที่ 4.3 ผิวน้ำของชิ้นงานเปลี่ยนแปลงไปในแต่ละขั้นตอนก้าวปลูก ผิวน้ำลายตารางของชิ้นงานที่ไม่มีชั้น GaAs spacer ในรูปที่ 4.3 ก) มีลักษณะเป็นแนวของเนิน (Ridge) เล็ก ๆ ที่เรียงตัวตลอดทั้งชิ้นงานในสองทิศทาง [110] และ [1-10] ซึ่งเกิดจาก misfit dislocation ของการคลายความเครียดเพียงบางส่วนของชั้น InGaAs ในระบบ  $In_{0.15}Ga_{0.85}As/GaAs$  เมื่อกินจากความหนาวิกฤติ ซึ่งในที่นี้ค่าความหนาวิกฤติประมาณ 10 nm สำหรับ In 15% ตามแบบจำลองของ Matthews and Blakeslee ต่อมาเมื่อปลูกชั้น GaAs spacer ลงบนผิวชิ้นงานดังแสดงในรูปที่ 4.3 ข) แนวของ dislocation ที่มีอยู่เดิมก่อให้เกิดแนวของ dislocation ใหม่ แต่แนวของ dislocation ใหม่ไม่สามารถผ่านชั้น GaAs spacer ได้หมดโดยเฉพาะเมื่อชั้น GaAs spacer มีความหนาเพิ่มขึ้น เนื่องจากมีบางส่วนหยุดอยู่ในเนื้อชิ้นงานหรือเบี่ยงเบนออกไปนอกชิ้นงานดังที่อธิบายในบทที่ 2 (หัวข้อ 2.3.3.2.3) ผลที่ได้จึงปรากฏเป็น surface step ขึ้นบนผิวน้ำคล้ายในกรณีของลายตารางของ  $In_{0.15}Ga_{0.85}As/GaAs$  หลังจากนั้นจึงเกิดกระบวนการของ surface step elimination ผลที่ได้จึงเกิดเป็นแนวเนินยาวตลอดทั้งชิ้นงาน (รูปที่ 4.3 ค)) ในสองทิศทางเช่นกันแต่มีรูปร่างที่เปลี่ยนไป จากค่า peak to valley หรือค่าความลึกของแนวเนินจากยอดเนินถึงพื้นด้านล่างและค่า ridge width คือค่าความกว้างของแนวเนินซึ่งวัดในทิศทาง [110] และ [1-10] จะเห็นได้ว่าแนวของเนินโดยเฉพาะในทิศทาง [110] เป็นแนวเนินที่มีขนาดใหญ่กว่า ซึ่งเป็นผลจากแนวของ dislocation ในมีที่จัดกันมาก [58] นอกจากนี้เมื่อพิจารณา line scan ในรูปที่ 4.2 ค) แสดงให้เห็นถึงแนวของเนินในทิศ [1-10] มีความลึกและความเป็นลอนมากกว่าเมื่อเทียบกับทิศ [110] ลักษณะผิวน้ำดังกล่าวที่แตกต่างไปจากเดิมจะส่งผลให้การก่อตัวของความตั้งตระหง่านที่ได้แตกต่างไปจากเดิมเมื่อทำการปลูกความตั้งตระหง่าน ผลของการปลูกความตั้งตระหง่านไปบนผิวของชิ้นงานที่มีชั้น GaAs spacer จะถูกศึกษาและอธิบายพร้อม ๆ กับการขยายตัวของแนวเนินในหัวข้อถัดไป

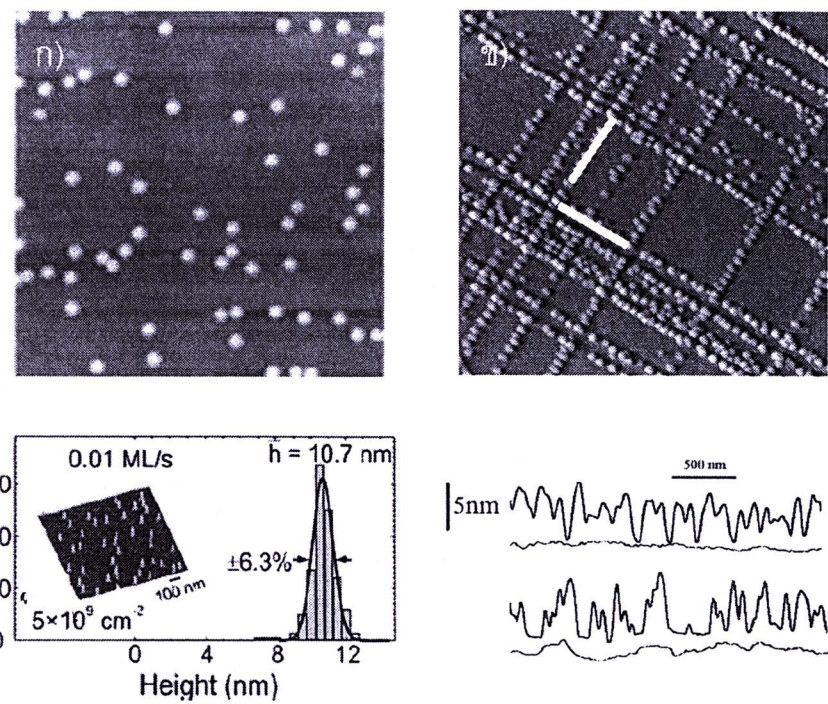


รูปที่ 4.3 ลำดับของการเปลี่ยนแปลงผิวน้ำในการสร้างแม่พิมพ์สำหรับการก่อตัวควบคุมตั้มดอตใหม่ โดยแสดงกลไกพร้อมลักษณะการก่อตัวของผิวน้ำของชั้นงาน ก) การเกิดลายตารางขึ้นจากการเลื่อนของระนาบผลึกเนื่องจาก misfit และ threading dislocation ของชั้น  $In_{0.15}Ga_{0.85}As/GaAs$  ข) การเพิ่มชั้น GaAs spacer ทำให้แนวของ dislocation เปลี่ยนแปลงไป โดยมีบางส่วนหยุดหรือเบี่ยงเบนไปจากทิศทางเดิม ในขณะที่มีบางส่วนผ่านชั้นยังผิวน้ำได้ และ ค) แสดงการเกิดของแนวเนินขนาดต่างๆ ซึ่งเป็นผลจากการเลื่อนของระนาบบนผิวน้ำและการเกิด surface step elimination

#### 4.2.2 ควบคุมตั้มดอตบนผิวน้ำของชั้น GaAs spacer

##### ก) การจัดเรียงตัวควบคุมตั้มดอตบนผิวน้ำของ GaAs spacer

การเรียงตัวของ InAs ควบคุมตั้มดอตบน GaAs โดยทั่วไปเป็นอย่างไม่มีระเบียบเนื่องจาก การเกิดชั้นแบบสุ่ม ดังแสดงในรูปที่ 4.4 ก) ซึ่งได้จากการปั๊ก 1.8 ML InAs ควบคุมตั้มดอตบนชั้น GaAs โดยตรง ของ S. Kiravittaya [79] การเรียงตัวของควบคุมตั้มดอตจะเป็นระเบียบมากขึ้นเมื่ออาศัยชั้นลายตาราง InGaAs/GaAs ดังแสดงในรูปที่ 4.4 ข) เป็นรูปที่ได้จากการปั๊ก 1.8 ML InAs ควบคุมตั้มดอตบนชั้น 50 nm  $In_{0.15}Ga_{0.85}As/GaAs$  ของ C.C. Thet [33] สำหรับการปั๊ก InAs ควบคุมตั้มดอตบนชั้น  $In_{0.15}Ga_{0.85}As/GaAs$  ที่มีชั้น GaAs Spacer จะให้ผลที่แตกต่างออกไปดังแสดงในรูปที่ 4.4

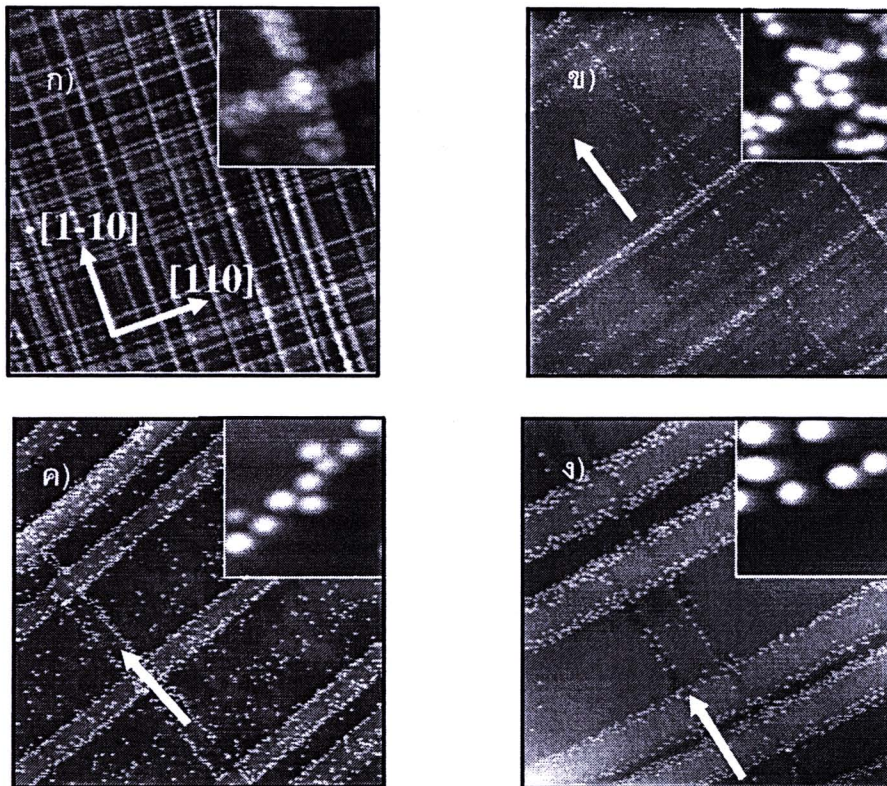


รูปที่ 4.4 ภาพ AFM ของการปั๊ก 1.8 ML InAs QDs บน ก)  $In_{0.15}Ga_{0.85}As/GaAs$

ข) GaAs (100) ชั้บสเตรตพร้อมความสูง [77,79]

การเปลี่ยนแปลงความหนาของชั้น GaAs spacer มีผลต่อการเรียงตัวของความตั้มดอตตามลักษณะผิวน้ำที่เปลี่ยนแปลงไป รูปที่ 4.5 แสดงลักษณะการจัดเรียงตัวของความตั้มดอตของ ก) โครงสร้าง 50 nm  $In_{0.15}Ga_{0.85}As/GaAs$ , ข) ชิ้นงาน A, ค) ชิ้นงาน B และ ง) ชิ้นงาน C โดยพบว่าการจัดการเรียงตัวของความตั้มดอตประกอบทั่วไปในสองทิศทาง คือ ทิศ [110] และทิศ [1-10] เมื่อไม่มีชั้น GaAs Spacer (รูป 4.5 ก)) แต่เมื่อชั้น GaAs spacer หนาขึ้น ความหนาแน่นของเส้นการเรียงตัวของความตั้มดอตมีค่าน้อยลงในทั้งสองทิศทาง โดยเฉพาะในทิศ [1-10] มีค่าลดลงอย่างมาก ทำให้การจัดเรียงตัวในทิศทาง [110] มีความโดยเด่นมากกว่า ดังแสดงในรูป 4.5 (ข, ค และ ง) พร้อมกันนี้ยังปรากฏให้เห็นแนวของเนินขนาดใหญ่บริเวณผิวน้ำของชิ้นงานทั้งสองทิศทาง ความกว้างของแนวเนินเหล่านี้เพิ่มมากขึ้นเมื่อความหนาของชั้น GaAs spacer โดยเฉพาะในทิศทาง [110] แนวเนินเหล่านี้คือ surface step ที่เกิดจากการเลื่อนตัวของระนาบผลึก โดยมีจุดกำเนิดจาก misfit dislocation ที่เกิดจากการคลายตัวบางส่วนของความเครียดเนื่องจากความไม่เข้ากันของโครงสร้างผลึก InGaAs กับ GaAs (ประมาณ 1%) ซึ่งมีลักษณะคล้ายกับการเกิดลายตารางในระบบ InGaAs/GaAs [54] แต่ลักษณะของ dislocation จะเปลี่ยนแปลงไปจากเดิม ซึ่งเมื่อปั๊กชั้นของ GaAs spacer ลงไปบนชั้นของเนินเหล่านี้จะทำให้พลังงานพื้นผิวดลง surface step ที่มีอยู่ถูกทำลายลง [55] ส่งผลให้เกิดแนวของเนินที่มีความกว้างขึ้นในทิศทาง [1-10] และทิศทาง [110] บนชั้นของ GaAs spacer การก่อตัวของความตั้มดอตจะ

เกิดขึ้นบริเวณขอบของแนวเนินเหล่านี้ เนื่องจากเป็นบริเวณที่มีพลังงานต่ำ จึงเป็น preferential site สำหรับการก่อตัว [78]



รูปที่ 4.5 ภาพ AFM ขนาด  $10 \times 10 \mu\text{m}^2$  แสดงลักษณะการก่อตัวของ InAs ความดันดอตที่ปั๊กด้วยวิธีแบบ SK ของ ก) ชิ้นงาน  $\text{In}_{0.15}\text{Ga}_{0.85}\text{As}/\text{GaAs}$  ข) ชิ้นงาน A ค) ชิ้นงาน B และ ง) ชิ้นงาน C ตามลำดับโดยในแต่ละรูปทางด้านมุมขวาบนมีรูปขยายขนาด  $0.5 \times 0.5 \mu\text{m}^2$  ในบริเวณตำแหน่งที่สนใจและลูกศรสีขาวแสดงทิศทาง [1-10]

ข) ลักษณะทางกายภาพของความตั้มดอตบนผิวน้ำของชิ้น GaAs spacer

ค่าความสูง ขนาด และความหนาแน่นของความตั้มดอต รวมถึงค่าความกว้างของแนวเนิน ในแต่ละชิ้นงาน ถูกแสดงในตารางที่ 4.3 ความสูงและขนาดของความตั้มดอตในชิ้นงานมีค่าสูงขึ้นเมื่อความหนาของชิ้น GaAs spacer เพิ่มขึ้น แต่เปลี่ยนแปลงไม่มากนักในชิ้นงาน A และ B ที่มีความหนา 50 และ 100 ตามลำดับ ซึ่งมีความสูงใกล้เคียงกับการปั๊กความตั้มดอตบนชิ้นเสมือนลายตารางโดยตรงของ C.C. Thet [33] ดังแสดงในรูปที่ 4.4 ข) ซึ่งมีค่าความสูงโดยเฉลี่ย  $5 \text{ nm}$  แต่มีขนาดใหญ่กว่าโดยเฉพาะในทิศ [110] เมื่อความหนาของชิ้น GaAs เพิ่มเป็น 250  $\text{nm}$  ในชิ้นงาน C ค่าความสูงจะเปลี่ยนแปลงสูงขึ้น ( $6.17 \text{ nm}$ ) และมีขนาดใหญ่ขึ้นโดยเปลี่ยนแปลงอย่างชัดเจนในทิศ [110] ขนาดที่เปลี่ยนแปลงอย่างไม่สมมาตรในทิศ [110] และทิศ [1-10] เป็นผลจากความแตกต่างของลวดลาย

แนวโน้มที่เกิดขึ้นบนผิวน้ำเนื่องจากความไม่เท่ากันของ dislocation ในสองพิษทาง [56] ซึ่งเปรียบเทียบกับขนาดของ InAs ควรตั้มดอตที่ปั๊กบนชั้น GaAs โดยตรงของ S. Kiravittaya [79] ที่ปั๊กด้วยเงื่อนไขเดียวกัน ดังแสดงในรูปที่ 4.4 ก) พบร่วมกันว่าความสูงเป็น 10.7 nm แต่มีขนาดที่เล็กกว่า (38 nm) ลักษณะดังกล่าวเมื่อแสดงให้เห็นถึงความหนาที่เพิ่มขึ้นทำให้ระบบโดยรวมเปลี่ยนจากการปั๊ก InAs/ $In_{0.15}Ga_{0.85}As$  ไปเป็น InAs/GaAs แต่ที่มีขนาดใหญ่กว่าเนื่องจากยังมีผลของ dislocation ที่ยังคงส่งผลต่อลักษณะผิวน้ำของชิ้นงาน ในส่วนความหนาแน่นของควรตั้มดอตมีความหนาแน่นต่างกันน้อยในชิ้นงาน A และ B แต่ลดลงอย่างมากในชิ้นงาน C เนื่องจากควรตั้มดอตมีการจัดเรียงตัวและเลือกกรุ่นตัวมากยิ่งขึ้น ซึ่งเมื่อเปรียบเทียบกับควรตั้มดอตที่เกิดบนชั้น GaAs โดยตรงและบนชั้น GaAs spacer พบว่ามีความหนาแน่นที่น้อยกว่าในทุกชิ้นงานที่มีชั้น GaAs spacer ตารางที่ 4.3 ค่าความสูง ความหนาแน่นของควรตั้มดอต และขนาดของแนวโน้มที่เกิดขึ้นในชิ้นงานที่ปั๊ก InAs ควรตั้มดอตแบบ SK บนชิ้นงาน A, B และ C ตามลำดับ โดยเปรียบเทียบกับข้อมูลของชิ้นงานที่ปั๊ก InAs ควรตั้มดอตแบบเดียวกับบนผิวน้ำของ GaAs โดยตรงของ S.Kiravittaya [79] และบน  $In_{0.15}Ga_{0.85}As/GaAs$  ของ C.C Thet [80]

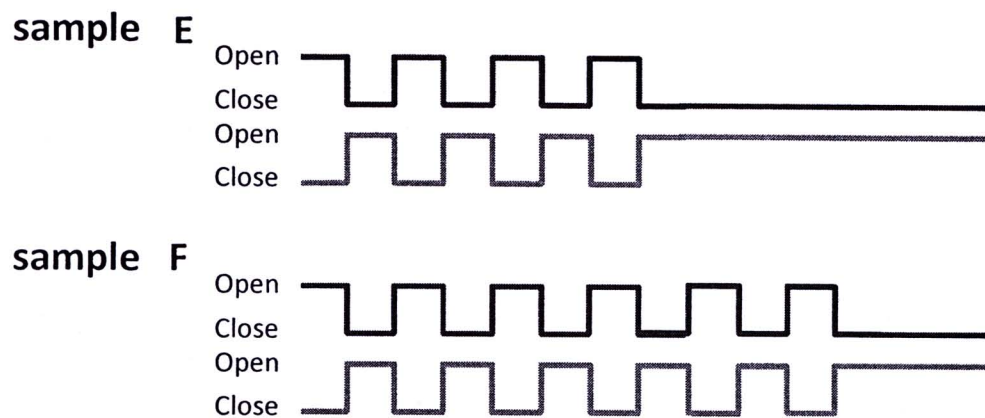
Structure	GaAs	Dot Density (cm <sup>-2</sup> )	Dot Height (nm)	Dot Size (nm)		Ridge Width (nm)	
	Spacer Thickness (nm)			[110]	[1-10]	[110]	[1-10]
Sample A	50	$1.03 \times 10^9$	4.57	118.57	103.22	467.75	190.23
Sample B	100	$1.08 \times 10^9$	4.75	120.57	114.33	730.87	713
Sample C	250	$9.39 \times 10^8$	6.36	169.70	129.07	1387.5	1256
$In_{0.15}Ga_{0.85}As/GaAs$	-	$6.1 \times 10^9$	5	75	93	-	-
InAs/GaAs	-	$6 \times 10^9$	10.7	38*		-	-

\*average diameter

### ค) การจัดเรียงควรตั้มดอตแบบ SK ในรูปแบบ MEE

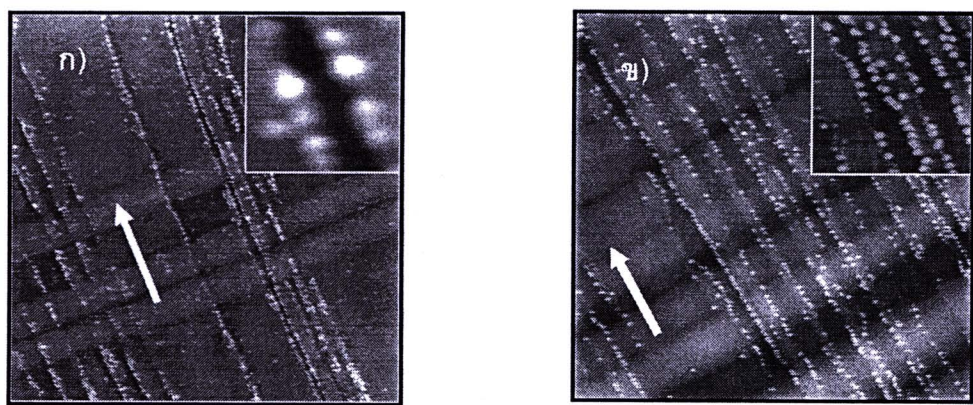
วิธีการปั๊กเป็นลักษณะที่ส่งผลต่อการจัดเรียงตัวของควรตั้มดอตบนพื้นผิวน้ำของชิ้นงานที่มีชั้น GaAs spacer ในการทดลองจะใช้วิธีการปั๊กอยู่ 2 วิธีคือการปั๊กแบบ SK ปกติ และการปั๊กแบบ SK Migration Enhance Epitaxy (MEE) ความแตกต่างของวิธีการปั๊กทั้งสอง คือลักษณะการเปิดชั้ตเตอร์ของสารในขณะปั๊กควรตั้มดอต ในการปั๊กควรตั้มดอตสารที่ใช้คือ In และ As สำหรับวิธีการ

ปลูกแบบปกติ ชั้ตเตอร์ In และ As จะเปิดตลอดเวลาขณะทำการปลูกความตั้มดอต ในขณะที่การปลูกแบบ MEE ชั้ตเตอร์ของ In และ As จะเปิดปิดสลับกัน ดังได้กล่าวมาที่ 3 (รูปที่ 3.17)



รูปที่ 4.6 ลักษณะการเปิดปิดชั้ตเตอร์ In และ As ในชิ้นงาน E และ F

ผลการทดลอง แนวของการก่อตัวและการเรียงตัวของความตั้มดอตในการปลูกแบบ SK ปกติที่จะเกิดขึ้นอย่างเด่นชัดในทิศทาง [110] (รูปที่ 4.5 ง)) ในขณะที่การปลูกด้วยวิธีแบบ MEE การเรียงตัวของความตั้มดอตจะโดดเด่นในทิศทาง [1-10] ดังแสดงในรูปที่ 4.7 ก) และ 4.7 ข) ซึ่งเป็นภาพ AFM ที่ได้จากชิ้นงาน E และ ชิ้นงาน F ตามลำดับ ทั้งสองชิ้นงานมีโครงสร้างพื้นฐานที่เหมือนกัน มีวิธีการปลูกความตั้มดอตแบบเดียวกัน คือ แบบ MEE แต่แตกต่างในจำนวนวัյจักรการเปิดและปิดชั้ตเตอร์สาร In และ As ซึ่งชิ้นงาน E มีจำนวนวัյจักรที่มากกว่าชิ้นงาน F อยู่ 50% ดังแสดงในรูปที่ 4.6



รูปที่ 4.7 ภาพ AFM ขนาด  $10 \times 10 \mu\text{m}^2$  ของชิ้นงาน F และ G ซึ่งปลูกความตั้มดอตแบบ MEE โดย over growth ก) 0% และ ข) 50% ตามลำดับ โดยในแต่ละรูปทางด้านมุมขวาบนมีรูปขยายขนาด  $0.5 \times 0.5 \mu\text{m}^2$  ในบริเวณที่สนใจ และลูกศรสีขาวแสดงถึงทิศทาง [1-10]

การเปลี่ยนแปลงทิศการเรียงตัวของความตั้มดอตเมื่อเปลี่ยนแปลงวิธีการปลูกเป็นผลมาจากการลักษณะของความแตกต่างของแนวโน้มในสองทิศทาง ลักษณะของความตั้มดอตอย่างคงก่อตัวบริเวณขอบของเนินที่เกิดขึ้น แต่เป็นแนวของเนินในทิศทางที่ไม่เหมือนกัน เมื่อพิจารณาถึงลักษณะทางกายภาพของแนวโน้มทั้งสองทิศทางพบว่ามีความแตกต่างกัน ดังรูปที่ 4.2 ค) line scan ของลักษณะพื้นผิวในสองทิศทาง พบว่าแนวของเนินในทิศทาง [1-10] มีความลึกและความเป็นร่องคลื่นมากกว่าเมื่อเทียบกับแนว [110] ทำให้เกิดความไม่เท่ากันขึ้นในการก่อตัวทั้งสองทิศทาง ซึ่งโดยมากจะตอบของ In ชั้นขอบที่จะเคลื่อนที่ไปในทิศทาง [1-10] มากกว่า [81] นอกจากนี้ผลของระบบผลึกที่เปลี่ยนไปเนื่องจากพื้นผิวที่เป็นร่องคลื่นยังมีส่วนสำคัญต่อการเลือกก่อตัวของความตั้มดอตบนพื้นผิว เช่น ด้วยกัน

ความแตกต่างของพื้นผิวที่เกิดขึ้นรวมกับการเคลื่อนที่ของพาหะที่ไม่เหมือนกันเนื่องการเปิด-ปิดชั้ตเตอร์ที่แตกต่างกันของการปลูกทั้งสองวิธี ก่อให้เกิดการสับทิศการเรียงตัวโดยเด่นของความตั้มดอตขึ้น ในการปลูกความตั้มดอตแบบปกติ In adatoms มีอิสระและความยาวแพร์ (diffusion length) สั้น เนื่องจาก การเคลื่อนที่ของอะตอม In บนพื้นผิวจะถูกกรบกวนโดยไอของลำโมเลกุลของ As<sub>4</sub> ตลอดเวลา จึงไม่มีพลังงานเพียงพอที่จะเข้าชานะพลังงานความเครียด (strain energy) ที่เกิดจาก surface step ในทิศทาง [1-10] ได้ และการก่อตัวขึ้นบริเวณขอบของเนินในทิศทาง [110] แทนเนื่องจากใช้พลังงานน้อยกว่า แต่สำหรับการปลูกแบบ MEE จะตอบของ In จะถูกกรบกวนโดยไอของลำโมเลกุล As<sub>4</sub> ลดลง ทำให้ In adatoms มีอิสระ รวมถึงมีพลังงานในการเคลื่อนที่มากกว่า ทำให้เคลื่อนที่ได้ไกลกว่า [81] การก่อตัวของความตั้มดอตจึงเกิดขึ้นในบริเวณขอบของแนวโน้มในทิศทาง [1-10] เนื่องจากเป็นบริเวณที่มีพลังงานที่น้อยที่สุด [78]

#### 4.3 สมบัติทางแสงของชิ้นงาน

หัวข้อที่ผ่านมาได้อธิบายลักษณะทางกายภาพของความตั้มดอตที่เกิดบน GaAs spacer เขพะพิวหน้าเท่านั้น การศึกษาสมบัติโดยรวมของชิ้นงานจำเป็นต้องรวมสมบัติทางแสงเข้าไว้ด้วย คุณภาพการเปล่งแสงที่ดีบ่งบอกถึงชิ้นงานที่สามารถนำไปผลิตเป็นอุปกรณ์อิเล็กทรอนิกส์ในเชิงพาณิชย์ได้ ค่ายอดพลังงานของแสงที่เปล่งออกมำทำให้ทราบถึงองค์ประกอบทางเคมีของสารต่าง ๆ ที่มีอยู่ในชิ้นงาน

สมบัติทางแสงของชิ้นงานได้ถูกวัดโดยเทคนิค PL ภายใต้เงื่อนไขการทดลอง 3 เงื่อนไข คือ

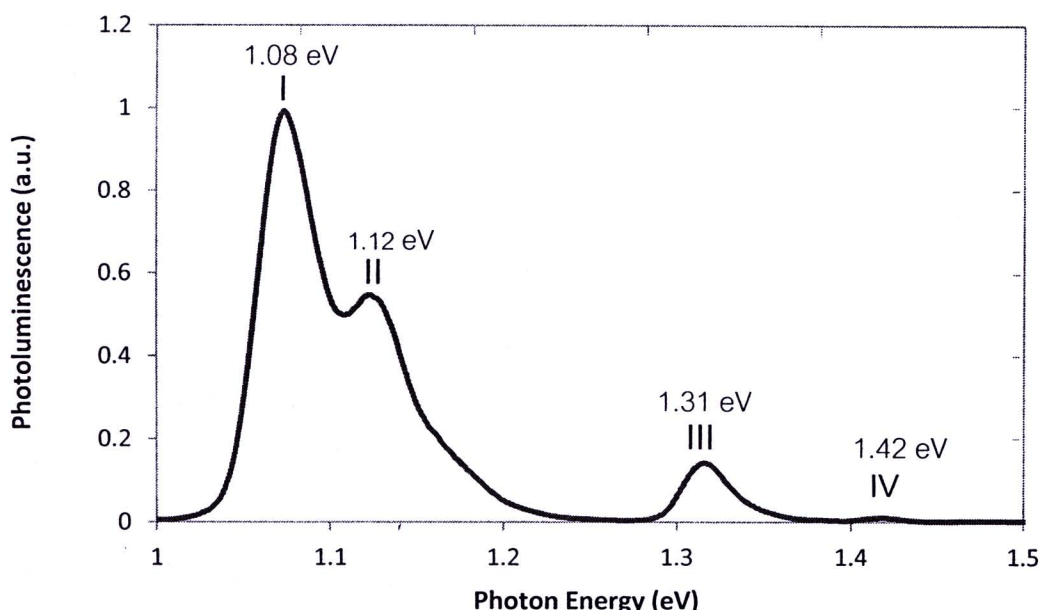
- ก) การวัดスペกตรัมของแสงที่เปล่งออกมำในสภาวะที่อุณหภูมิของชิ้นงานมีค่าคงที่แต่ความเข้มของแสงเลเซอร์จะต้นเปลี่ยนแปลงไป

- ข) การวัดスペกตรัมของแสงที่เปล่งออกมานในสภาวะที่อุณหภูมิเปลี่ยนแปลงไปแต่ความเข้มของแสงเลเซอร์จะต้นมีค่าคงที่
- ค) การวัดค่าความเข้มแสงเมื่อผ่าน Polarizer ที่มุนต่างๆ ในสภาวะที่อุณหภูมิและกำลังแสงเลเซอร์จะต้นคงที่

หัวข้อนี้จะอธิบายลักษณะทั่วไปของการเปล่งแสงของชิ้นงาน G ตามด้วยผลการทดลองทั้งสามขั้นตอน ตามลำดับดังนี้

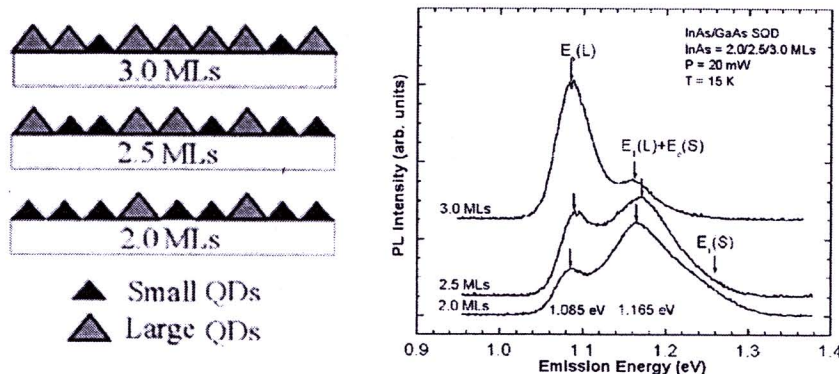
#### 4.3.1 ลักษณะโดยทั่วไปของการเปล่งแสงของชิ้นงาน

ลักษณะการเปล่งแสงโดยทั่วไปของชิ้นงาน G ประกอบด้วยยอดพลังงาน (peak) หลัก 4 ยอดอยู่ในช่วง 1.0-1.5 eV ซึ่งสามารถจำแนกออกเป็นสองกลุ่มคือ กลุ่มพลังงานต่ำ (I และ II) และกลุ่มพลังงานสูง (III และ IV) ดังรูปที่ 4.8 กลุ่มพลังงานต่ำคือ ยอดพลังงานที่ I และ II (1.076 eV และ 1.12 eV ตามลำดับ) เกิดจากการเปล่งแสงของความตั้มดอต โดยเมื่อเปรียบเทียบกับผลการทดลองของ InAs ความตั้มดอตบน GaAs ของ Kiravittaya [79] และ Rudeeson [82] พบร่วมกัน 1.8 ML InAs ความตั้มดอตที่ปลูกด้วยอัตราการปลูก 0.01 ML/s ค่ายอดพลังงานปรากฏในค่า 1.05 eV ซึ่งใกล้เคียงกับยอดพลังงานที่ I มากกว่าค่ายอดพลังงานที่วัดได้จากการปลูกความตั้มดอตแบบเดียวกันบนชั้น In<sub>0.15</sub>Ga<sub>0.85</sub>As/GaAs ที่ไม่มีชั้น GaAs Spacer ซึ่งจะปรากฏในค่ายอดพลังงานที่ 1.19 eV [33]

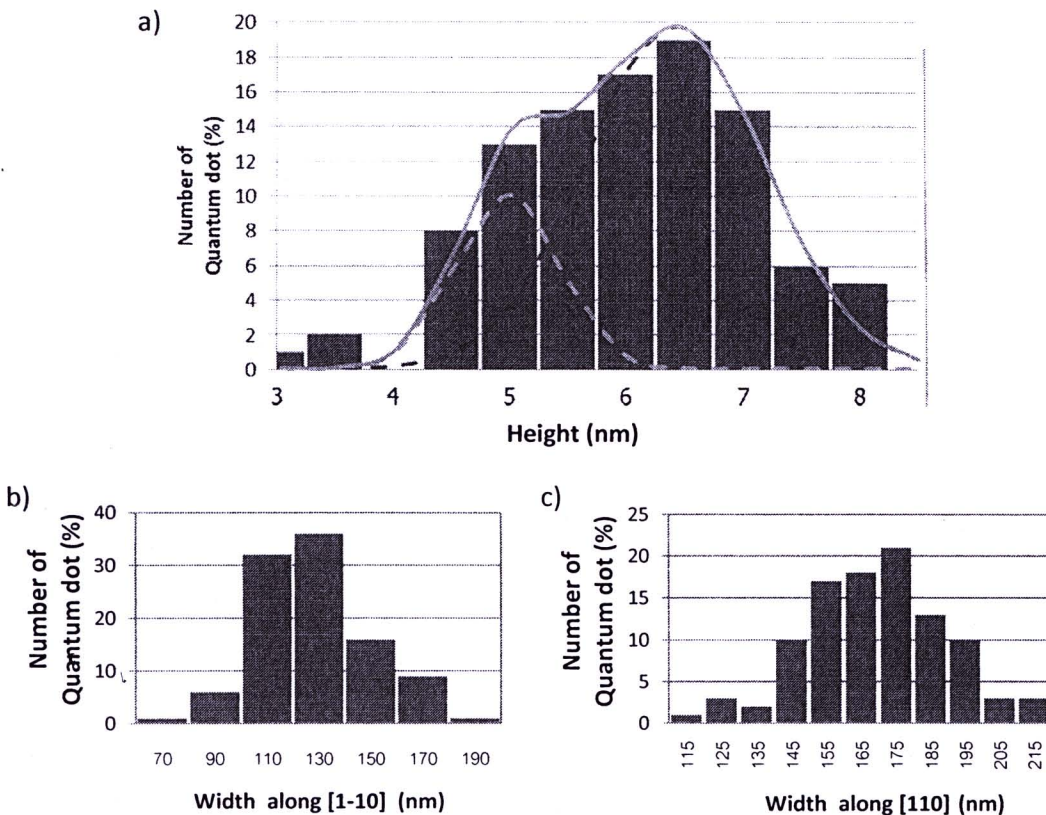


รูปที่ 4.8 สเปกตรัมการเปล่งแสงโดยทั่วไปของชิ้นงาน G โดยระบุตำแหน่งของยอดพลังงานหลักที่เกิดขึ้น 4 ค่า ด้วย สัญลักษณ์ I, II, III และ IV ตามลำดับ

ในส่วนยอดพลังงานที่ II ซึ่งอยู่ใกล้เคียงกับค่ายอดพลังงานที่ I จากการทดลองโดยการเปลี่ยนแปลงกำลังแสงเลเซอร์กระตุ้นซึ่งจะกล่าวถึงในหัวข้อถัดไป ทำให้ทราบว่าเกิดจากกลุ่มความตั้มดอตอีกขนาดหนึ่งซึ่งแตกต่างจากความตั้มดอตของยอดพลังงานที่ I โดยยิ่งความตั้มดอตมีขนาดเล็กลง ส่งผลให้ซ่องว่างแบบพลังงานของพานะในความตั้มดอตมีค่ามากขึ้น ดังได้กล่าวถึงในบทที่ 2 เกี่ยวกับขนาดและผลของซ่องว่างแบบพลังงานที่เปลี่ยนไปในโครงสร้างขนาดเล็ก ลักษณะเดียวกันที่ความสูงและความกว้างของความตั้มดอตของชั้นงานขณะที่ยังไม่ได้กลับหัวหรือชิ้นงาน C (รูปที่ 4.9 ก), ข) และ ค) จะเห็นได้ว่ามีความสูงและขนาดที่แตกต่างกัน แต่เมื่อเปลี่ยนแปลงรวมกันแล้วปรากฏให้เห็นเป็นยอดพลังงานที่โดยเด่นบางค่าซึ่งอยู่กับปริมาณและความหนาแน่นของความตั้มดอตที่เปลี่ยนแปลงในช่วงนั้น ยอดพลังงานที่ I และ II จึงเป็นลักษณะของการเปลี่ยนแปลงแบบ Bimodal ที่พบได้ในการทดลองเกี่ยวกับ InAs ความตั้มดอตบน GaAs ซึ่งใช้ InAs coverage ที่ไม่เท่ากันของ S.J. LEE [83] ดังแสดงในรูปที่ 4.9 ซึ่งเป็นผลการเปลี่ยนแปลงของความตั้มดอตคณิตขนาด 2 กลุ่ม เมื่อพิจารณาความสูงพบว่าความตั้มดอตกลุ่มแรก (เส้นป่าวด้านข่ายในรูปที่ 4.9 ก) เป็นความตั้มดอตที่มีความสูงเฉลี่ยที่ 5 nm และกลุ่มที่ 2 เป็นความตั้มดอตที่มีความสูงเฉลี่ย 6.5 nm ความสูงของความตั้มดอตที่เพิ่มขึ้นส่งผลให้ความตั้มดอตเปลี่ยนแปลงในความยาวคลื่นที่มากขึ้น [84] ความตั้มดอตในกลุ่มที่ 1 จึงเป็นความตั้มดอตที่เปลี่ยนแปลงในยอดพลังงานที่ II และการเปลี่ยนแปลงในยอดพลังงานที่ I จึงเป็นของความตั้มดอตในกลุ่มที่ 2 ตามลำดับ ดังนั้นความเข้มของการเปลี่ยนแปลงในยอดพลังงานที่ I จึงมีค่ามากกว่าในยอดพลังงานที่ 2 เนื่องจากปริมาณความตั้มดอตในกลุ่มแรกมีน้อยกว่าในกลุ่มที่ 2 ซึ่งสอดคล้องกับผลการทดลอง เมื่อพิจารณาความกว้างเฉลี่ยของความตั้มดอตในทิศ [110] และ [1-10] (ดูรูปที่ 4.10 ข) และ 4.10 ค) ตามลำดับ พบร่วมกับการกระจายตัวอย่างสม่ำเสมอในช่วง 145-195 nm ในทิศ [110] และในช่วง 110-130 nm ในทิศ [1-10] รูปร่างความตั้มดอตจึงยาวออกในทิศ [110] มากกว่าในทิศ [1-10] ความกว้างที่ไม่เท่ากันของความตั้มดอตมีผลต่อการเปลี่ยนแปลงเช่นกันโดยเฉพาะในเรื่องสถานะกระตุ้นแต่มีผลน้อยกว่าต่อสถานะพื้นเมื่อเทียบกับความสูง [84]



รูปที่ 4.9 กราฟแสดงผลของการเปลี่ยนแปลงในยอดพลังงานของ S.J.LEE [83]



รูปที่ 4.10 กราฟแสดงการกระจายตัว ก) ความสูงของความตั้มดอตและความกว้างในทิศทาง ฯ) [1-10]  
และ ค) [110] ของชิ้นงาน C

นอกจากนี้ยอดพลังงานที่ II ยังประกอบไปด้วยแสงจากสถานะกระตันของยอดพลังงานที่ I ซึ่งมีแสดงให้เห็นเช่นกันในรายงานของ S.J. LEE โดยจะกล่าวถึงต่อไปในหัวข้อผลของกำลังเลเซอร์กระตันต่อการเปล่งแสง

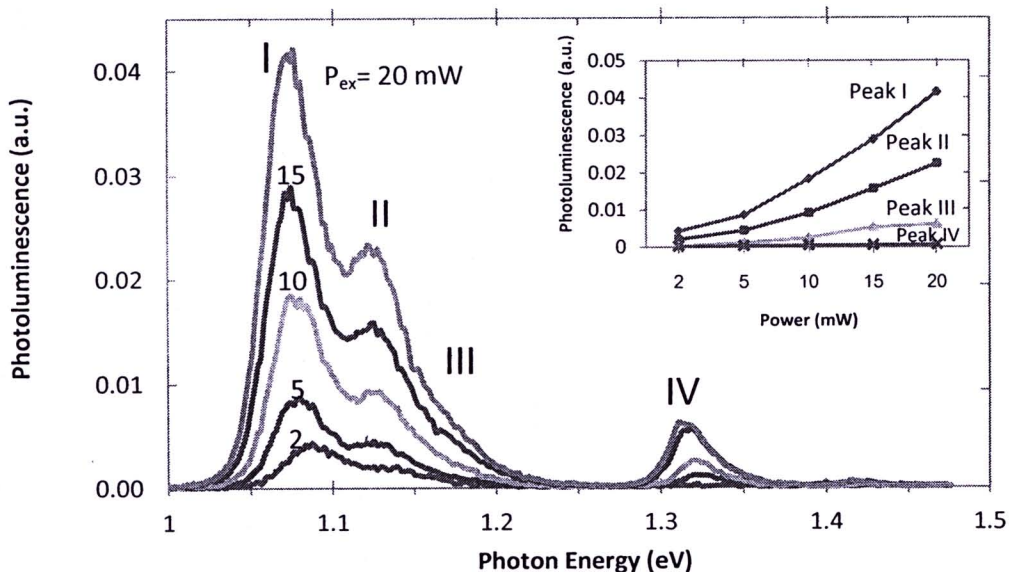
ในส่วนของค่าพลังงานด้านสูงอีกสองค่า คือ 1.31 eV และ 1.41 eV ของยอดพลังงานที่ III และยอดพลังงานที่ IV ตามลำดับ ยอดพลังงานที่ III เป็นค่ายอดพลังงานที่เกิดจากชั้น  $\text{In}_{0.15}\text{Ga}_{0.85}\text{As}$  ภายในโครงสร้าง ซึ่งมีรายงานแสดงให้เห็นถึงยอดพลังงานดังกล่าวในการทดลองเกี่ยวกับทางแสงของโครงสร้าง  $\text{InAs}$  ความตั้มดอตบนชั้น 50 -100 nm  $\text{In}_{0.15}\text{Ga}_{0.85}\text{As}/\text{GaAs}$  ของ Chit Swe, N.T [85] ซึ่งพบยอดพลังงานดังกล่าวในช่วง 1.29-1.32 eV

ส่วนยอดพลังงานที่ IV เป็นยอดพลังงานที่เกิดจากการเปล่งแสงของชั้น Wetting layer ของ  $\text{InGaAs}$  ซึ่งเกิดขึ้นขณะปลูกความตั้มดอต โดยค่ายอดดังกล่าวมีรายงานแสดงให้เห็นอย่างอย่างแพร่หลายในเรื่องการปลูก  $\text{InAs}$  ความตั้มดอตที่ความหนาต่ำกว่าค่าความหนาบริการ (1.7 ML) [86] บนพื้นผิวเรียบของ  $\text{GaAs}$  เช่น ปรากฏในการปลูก  $\text{InAs}$  ความตั้มดอตที่ความหนา 1.15-1.35 ML ของ Heitz [87] และการปลูก  $\text{InAs}$  ความตั้มดอตหนา 1.2-1.35 ML ของ Duarte [88]

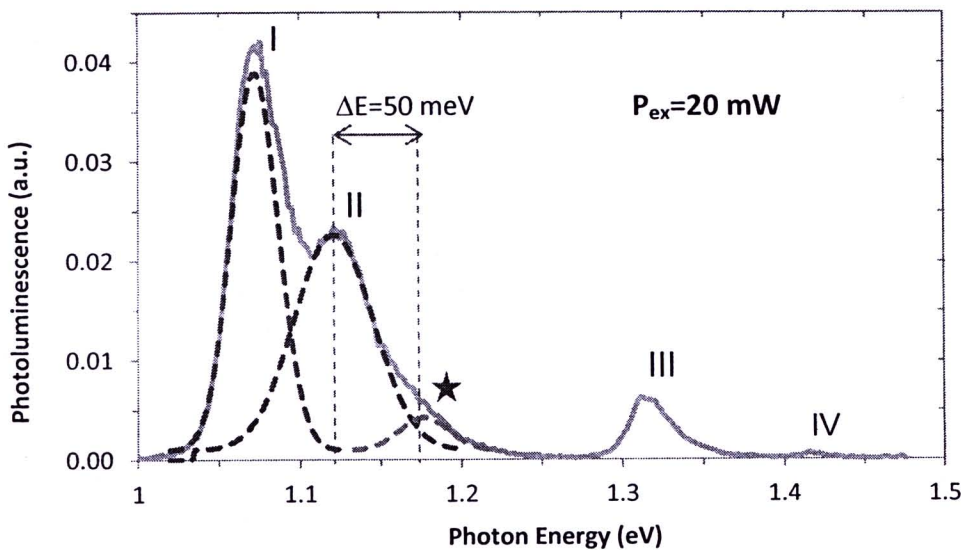
#### 4.3.2 ผลของกำลังเลเซอร์กระตุ้นต่อการเปล่งแสง

การเปลี่ยนแปลงพลังงานของแสงเลเซอร์กระตุ้นช่วยให้สามารถวิเคราะห์และจำแนกชนิดของยอดพลังงานที่เกิดขึ้นได้ว่าเกิดจากสถานะพื้น (ground state) หรือเกิดจากสถานะกระตุ้น (excited state) ในการทดลองได้ทำการเปลี่ยนแปลงกำลังแสงเลเซอร์ 5 ค่า คือ 2, 5, 10, 15 และ 20 mW ผลของ การทดลองดังปรากฏในรูปที่ 4.11 ลักษณะของการเปล่งแสงของชั้นงานจะเป็นไปในทิศทางเดียวกันคือมี 4 ยอดพลังงานและมีความเข้มที่สูงขึ้นตามค่ากำลังแสงเลเซอร์สูงขึ้น การเปลี่ยนแปลงกำลังแสงเลเซอร์ มีผลโดยตรงกับความเข้มการเปล่งแสงของชั้นงาน ซึ่งเป็นผลจาก state-filling effect [82] ที่ทำให้เกิด การเพิ่มจำนวนของพานะที่มีพลังงานสูงมากพอในแต่ระดับชั้นพลังงานเนื่องจากได้พลังงานกระตุ้นจาก แสงเลเซอร์ ความแตกต่างจะเริ่มมีความชัดเจนในกรณีกำลังเลเซอร์กระตุ้นตั้งแต่ 2 mW และกำลังเลเซอร์ กระตุ้นสูงที่ 20 mW

เมื่อค่ากำลังเพิ่มถึง 20 mW เริ่มปรากฏให้เห็นยอดพลังงานที่เพิ่มขึ้นซึ่งอยู่ระหว่าง II และ III (รูป ที่ 4.12) แต่ในกรณีกำลังเลเซอร์กระตุ้นตั้งแต่ 2 mW ปรากฏให้เห็นชัดเจนเฉพาะ I และ II เท่านั้น ในส่วน ยอดพลังงานที่ III และ IV คาดว่ายังคงมีอยู่แต่ไม่สามารถตรวจจับได้เนื่องจากมีความเข้มน้อยมากจนไม่ สามารถแยกความแตกต่างออกจากสัญญาณรบกวน (noise) ของการวัดได้ เมื่อเปรียบเทียบกันจึงยืนยัน ถึงยอดพลังงานพื้นทั้งสี่ของชั้นงานได้ ยอดพลังงานที่เพิ่มขึ้นระหว่างยอดพลังงานที่ II และ III เป็นค่า ยอดจากสถานะกระตุ้นของกลุ่มควอนตัม kontakt ในยอดพลังงานที่ II ที่เกิดจากการเคลื่อนที่ไปยังระดับชั้น พลังงานถัดไปของอิเล็กตรอนเนื่องจากมีพลังงานสูงมากพอจากแสงเลเซอร์กระตุ้น



รูปที่ 4.11 спектرومการเปล่งแสงของชั้นงาน G เมื่อเปลี่ยนแปลงกำลังเลเซอร์ที่ใช้ในการกระตุ้นที่กำลัง แสงเลเซอร์กระตุ้นที่อุณหภูมิ 20 K



รูปที่ 4.14 สเปกตรัมการเปล่งแสงของชิ้นงาน G การเปล่งแสงเมื่อเปลี่ยนแปลงกำลังเลเซอร์ที่ใช้ในการกระตุ้นที่กำลังเลเซอร์กระตุ้น 20 mW พื้นที่เส้นกราฟภายในแสดงยอดพลังงาน Gaussian ทั้ง 3 ค่ายอด

#### 4.3.3 ผลของอุณหภูมิต่อการเปล่งแสง

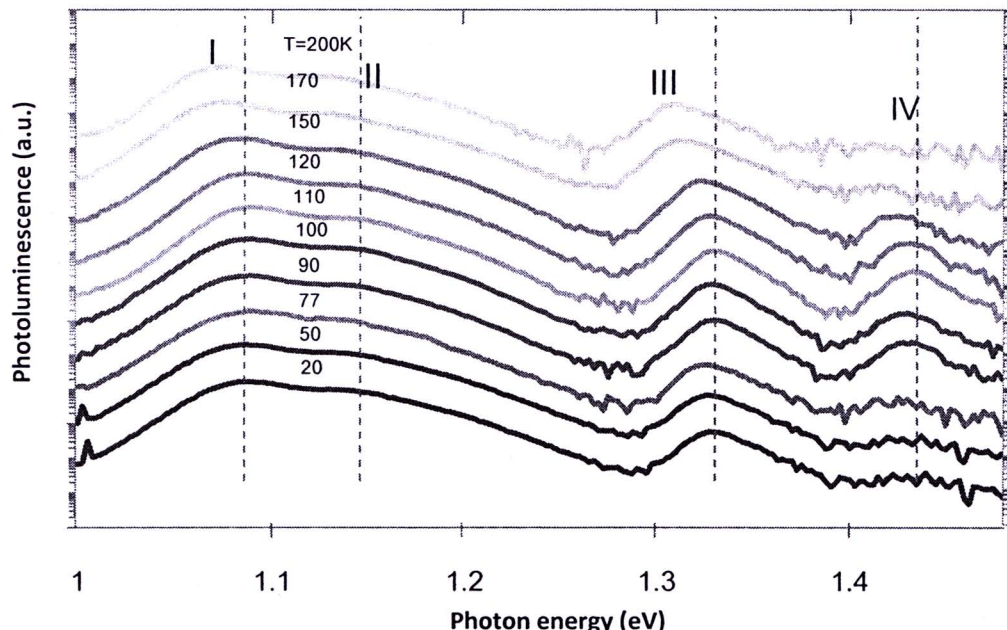
การเปล่งแสงของชิ้นงานเปลี่ยนแปลงกับอุณหภูมิแสดงในรูปที่ 4.13 เมื่อพิจารณาความเข้มแสงดังแสดงในรูปที่ 4.14 ซึ่งแสดงความสัมพันธ์ระหว่างความเข้มแสงในแต่ละยอดพลังงานกับอุณหภูมิ จากผลการทดลองพบว่าในช่วงแรกเมื่ออุณหภูมิเพิ่มขึ้นในช่วง 20-90 K ความเข้มของการเปล่งแสงในแต่ละยอดพลังงานมีค่าเพิ่มขึ้น โดยมีค่าเพิ่มสูงสุดที่ 90 K จากนั้นจึงลดลงอย่างต่อเนื่องเมื่ออุณหภูมิเพิ่มขึ้นตั้งแต่ 100-200K ความเข้มแสงที่เพิ่มขึ้นในช่วงแรกเป็นผลจากการเพิ่มของจำนวนอิเล็กตรอนที่ได้รับพลังงานมากขึ้นจนถึงระดับพลังงานนั้นๆ อันเป็นผลจากการกระตุ้นด้วยความร้อน Thermal excitation [88] จากนั้นเมื่ออุณหภูมิเพิ่มขึ้นตั้งแต่ 100 K จนถึง 200 K ความเข้มแสงที่ลดลงเนื่องจากการหลุดออกไปของพาหะหรืออิเล็กตรอนจากความตั้มดอต เนื่องจากการกระตุ้นด้วยความร้อนที่มีสูง โดยการเปลี่ยนแปลงจะเห็นได้ชัดเจนในยอดพลังงานที่ I และยอดพลังงานที่ II

ตำแหน่งของยอดพลังงานเป็นอีกสิ่งหนึ่งที่เปลี่ยนแปลงไปเมื่อเปลี่ยนอุณหภูมิดังแสดงในรูปที่ 4.15 ในช่วงอุณหภูมิ 20-90 K ปรากฏการเลื่อนตำแหน่งของยอดพลังงานไปยังพลังงานสูงขึ้น (blue shift) จากนั้นเมื่ออุณหภูมิสูงขึ้นอีกจนถึง 200 K ปรากฏการเลื่อนของยอดพลังงานไปยังพลังงานต่ำหรือ "red shift" การเลื่อนของยอดพลังงานในแต่ละช่วงสามารถอธิบายได้ดังนี้ ในช่วงแรกอุณหภูมิ 20-90 K ตำแหน่งของยอดพลังงานที่เพิ่มขึ้นเป็นผลจาก band filling effect เนื่องจากมีพาหะได้รับพลังงานสูงขึ้นจากพลังงานความร้อน [89] ซึ่งสอดคล้องกับความเข้มแสงที่เพิ่มขึ้นในช่วงนี้ ผลของ Band filling effect ทำให้เกิดการเลื่อนของยอดพลังงานไปยังพลังงานที่สูงขึ้นซึ่งพบรักษาในทั้งความตั้มดอตและลาด

ความตัน [90,91] ในช่วงถัดไปเมื่ออุณหภูมิเพิ่มสูงขึ้นจนถึง 200 K ยอดพลังงานที่เลื่อนไปยังค่าพลังงานที่ต่ำลงเป็นผลมาจากการขยายตัวด้วยความร้อน (Thermal expansion) จากการสั่นของโครงผลึกที่ทำให้ระยะห่างระหว่างอะตอมในโครงผลึกมากขึ้น สงผลให้พลังงานพันธะ (energy bond) ที่ยึดเหนี่ยวอิเล็กตรอนลดลง และผลจากการจะระเจิงระหว่างอิเล็กตรอนกับโฟโนน (Electron-phonon scattering) ทำให้เกิดการลดลงของโฟโนนโดยอิเล็กตรอน [92] สงผลให้ช่องว่างแบบพลังงานมีค่าลดลง การประมาณการเปลี่ยนแปลงค่าช่องว่างแบบพลังงานโดยทั่วไปสามารถทำได้โดยอาศัยสมการของ Varshni [93,94] พิจารณาอยอดพลังงานที่เกิดจาก In ความตันคงต่อ คือ ยอดพลังงานที่ I และยอดพลังงานที่ II สมการการเปลี่ยนแปลงช่องว่างแบบพลังงานของ InAs ( $E_g$ ) เท่ากับ

$$E_g = E_0 - \alpha T^2 / (T + \beta) \quad (4.1)$$

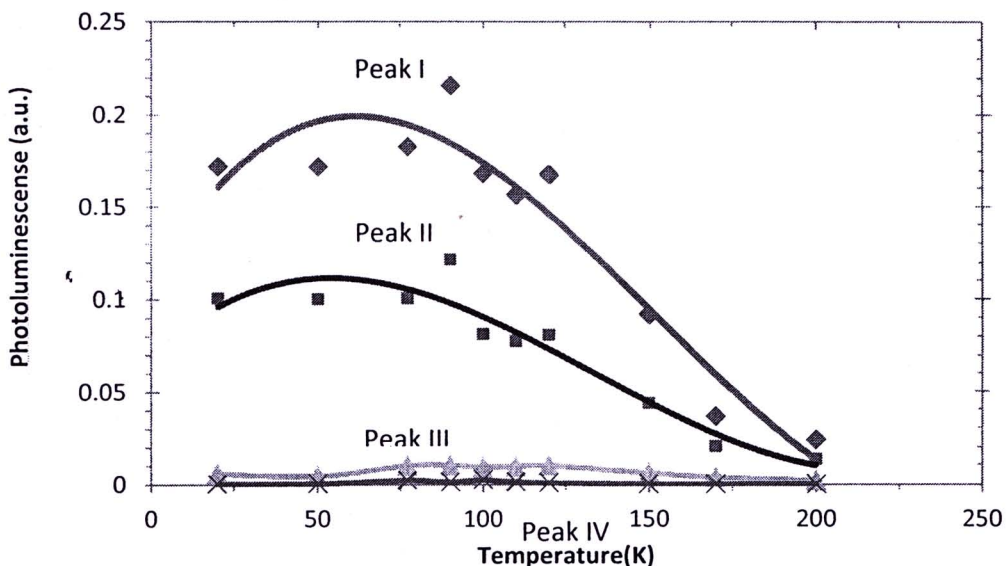
เมื่อ  $E_0$  คือ พลังงานที่ 0 K ของ InAs ความตันคงต่อ ซึ่งมีค่าเท่ากับ 0.345 eV,  $\alpha, \beta$  เป็นค่าคงตัวที่ใช้ในการปรับให้พอดี (fitting parameter) ซึ่งขึ้นตามสมบัติของวัสดุ [91] ในที่นี้มีค่า  $2.76 \times 10^{-4}$  และ 83 K ตามลำดับ



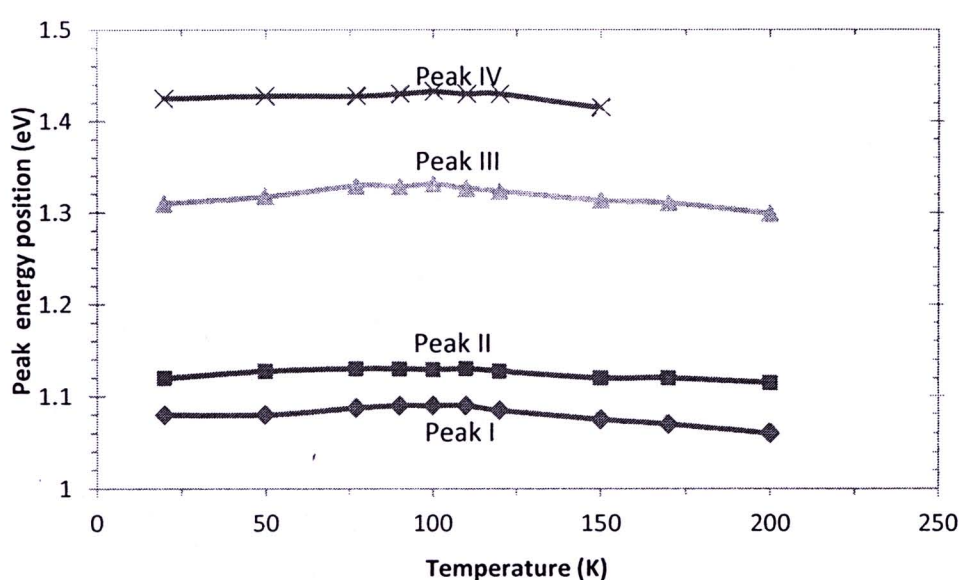
รูปที่ 4.13 สเปกตรัมของแสงที่เปล่งออกจากชิ้นงาน G ที่อุณหภูมิต่างๆ  
(กราฟถูก offset เพื่อความกระช่าง)

ค่า  $E_0$  ที่ใช้ในสมการ 4.1 เป็นของ InAs บริสุทธ์แต่ในกรณีของ InAs ความตันคงต่อไม่สามารถใช้ค่า  $E_0$  ดังกล่าวได้ เนื่องจาก In-Ga intermixing [95] ซึ่งสงผลให้ InAs ความตันคงต่อ มีการเจือปนด้วย Ga อะตอมบางส่วนจากการ diffusion จึงอาศัยสมการ (4.1) แต่ทำการปรับค่า  $E_0$  แล้ววัดเทียบกับค่า  $E_g$

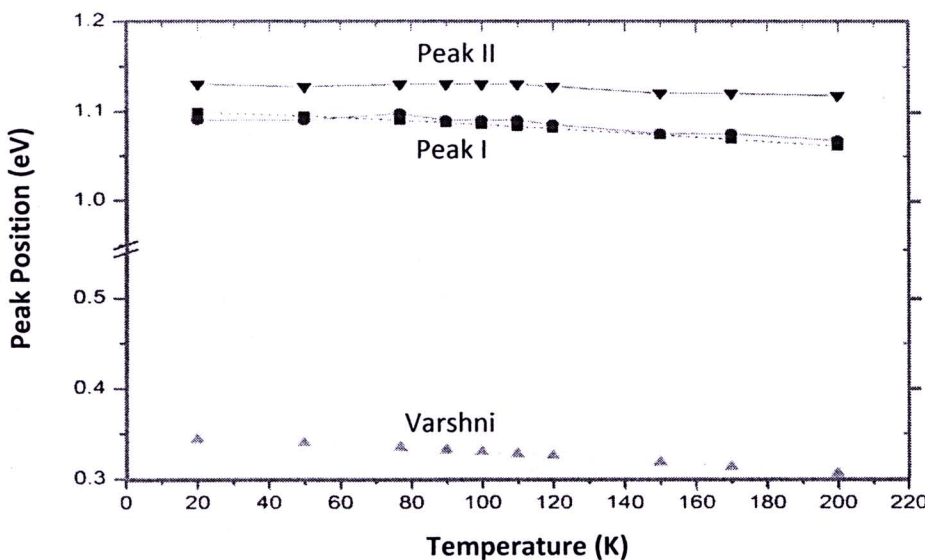
จากการทดลองค่า  $E_0$  ที่ได้คือ 1.1 eV ซึ่งมีแนวโน้มที่ใกล้เคียงกับการทดลองสำหรับยอดพลังงานที่ I สำหรับยอดพลังงานที่ II การปรับค่าดังกล่าวไม่มีแนวโน้มเปลี่ยนไปตามสมการของ Varshni ถึงแม้จะปรับค่า  $E_0$  เพื่อปรับค่าแล้วก็ตาม ผลดังกล่าวคาดว่าจะเป็นผลจาก excited state ของยอดพลังงานที่ I ซึ่งรวมอยู่ในยอดพลังงานที่ II ความสัมพันธ์ของค่ายอดพลังงานที่เปลี่ยนไปของยอดพลังงานที่ I และ II จากการทดลองเทียบกับสมการของ Varshni แสดงในรูปที่ 4.16



รูปที่ 4.14 ค่าความความเข้มแสงที่เปล่งออกจากค่ายอดพลังงานต่าง ๆ ของชิ้นงาน G เมื่อเปลี่ยนแปลงอุณหภูมิ



รูปที่ 4.15 ตำแหน่งของค่ายอดพลังงานของชิ้นงาน G ที่เปลี่ยนไปเมื่อเปลี่ยนแปลงอุณหภูมิ



รูปที่ 4.16 เปรียบเทียบค่ายอดพลังงานที่เปลี่ยนไปของยอดพลังงานที่ I และ II กับค่าที่ได้จากสมการ Varshni พร้อมกับเส้นประที่ได้จากการปรับค่า  $E_0$  ในสมการ Varshni

#### 4.3.4 ผลของโพลาไรเซชัน

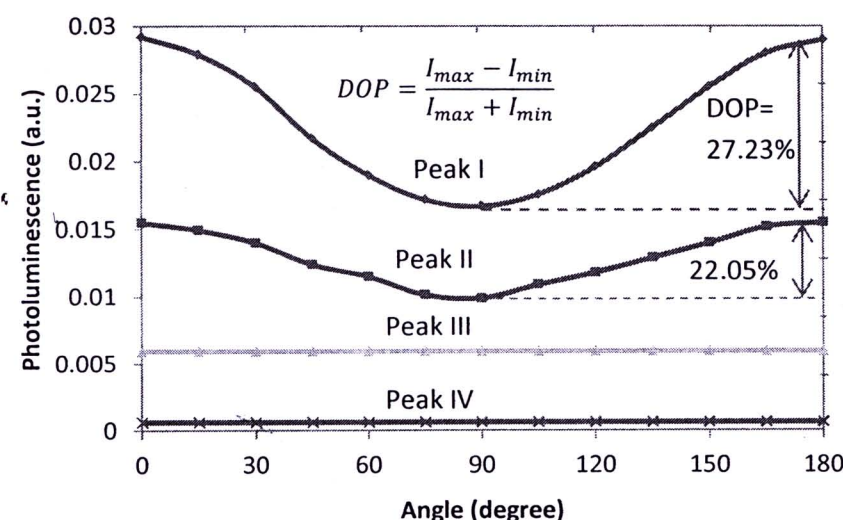
ในการศึกษาสมบัติโพลาไรเซชันของแสงที่เปล่งออกจากรัศมีงานได้ใช้แผ่นโพลาไซส์ว่างอยู่ข้างหน้าแสงของรัศมีงานก่อนที่จะผ่านไมโน่โคลอมิเตอร์ โดยก่อนที่จะทำการวัดต้องทำการปรับหมุนที่ให้ค่าความเข้มของแสงมากที่สุด จากนั้นจึงตั้งค่ามุมดังกล่าวให้เป็นมุมอักขระ (0 องศา) หลังจากนั้นจึงทำการปรับมุมของแผ่นโพลาไรเซอร์ไปยังค่าต่าง ๆ ตามต้องการ การวัดกระทำที่อุณหภูมิ 20 K ด้วยกำลังเลเซอร์กระตัน 40 mW

ผลการทดลองในรูปที่ 4.17 แสดงว่า ยอดพลังงานที่ I และ II เท่านั้นที่มีสมบัติโพลาไรเซชัน บ่งบอกถึงแสงมาจากแหล่งกำเนิดที่มีพิษทางการเรียงตัวที่แน่นอน ซึ่งในที่นี้คือความตั้มดอต ดังปรากฏในรูป AFM ของผิวน้ำ (รูปที่ 4.5 ง)) ค่าความเข้มของทั้งสองยอดพลังงานมีการเปลี่ยนแปลงจากค่ามากที่สุด ( $0^\circ$ ) แล้วจึงลดลงตามค่ามุมที่เพิ่มขึ้น จนลดลงมากที่สุดเมื่อปรับมุมได้  $90^\circ$  จากนั้นจึงค่อยๆ เพิ่มขึ้นอีกจนมีค่าใกล้เคียงกับค่ามากที่สุดที่มุม  $180^\circ$  จากค่าความเข้มที่แตกต่างกันตามค่ามุมโพลาไรซ์ที่เปลี่ยนไป สามารถใช้ในการหาค่า Degree of Polarization (DOP) ได้ดังความสัมพันธ์

$$DOP = \frac{I_{max} - I_{min}}{I_{max} + I_{min}} \quad (4.2)$$

ซึ่งมีค่าเท่ากับ 27.23% และ 22.05% สำหรับยอดพลังงานที่ I และ II ตามลำดับ

แสงโพลาไรซ์จากยอดพลังงานที่ I และยอดพลังงานที่ II เกิดจากความไม่เท่ากันของค่ายกกำลังสองของขนาดเวกเตอร์คลื่น (wave vector) ในทิศทาง [110] และ [1-10] ( $k_{[110]}^2, k_{[1-10]}^2$ ) ซึ่งขึ้นอยู่กับปริมาณของความตั้งต้มดอตที่เรียงตัวในสองทิศทาง โดยยิ่งมีความแตกต่างมากถ้าความตั้งต้มดอตเรียงตัวโดยเด่นในทิศทางใดทิศทางหนึ่ง [96] ค่า DOP เป็นตัววัดตัวหานี้ที่บอกถึงความแตกต่างดังกล่าว ค่า DOP ของทั้งสองยอดพลังงานมีค่าใกล้เคียงกันแสดงถึงการเรียงตัวที่ไม่แตกต่างกันมากนักของกลุ่มความตั้งต้มดอตทั้งสอง ผลดังกล่าวจึงสอดคล้องกับลักษณะการเรียงตัวความตั้งต้มดอตของชิ้นงาน



รูปที่ 4.17 ความสัมพันธ์ระหว่างค่าความเข้มก้มุมโพลาไรส์ของยอดพลังงานทั้งสี่ที่ปรากฏในรูปที่ 4.8